



**UNIVERSIDADE FEDERAL
DE SANTA CATARINA**

CENTRO TECNOLÓGICO
DEPARTAMENTO DE ENGENHARIA MECÂNICA

EMC 5412 – TRANSFERÊNCIA DE CALOR E
MECÂNICA DOS FLUIDOS COMPUTACIONAL
PROFESSOR ANTONIO FABIO CARVALHO DA SILVA

Trabalho 1

Avaliação da Condutividade na Interface (Revisado)

GUILHERME GWADERA

FLORIANÓPOLIS, 30 DE AGOSTO DE 2018

1 Introdução

O problema proposto consiste de uma parede composta por dois materiais de condutividades térmicas diferentes, com um fluxo de calor prescrito na fronteira esquerda ($q'' = 6000 \text{ W/m}^2$) e um fluxo de calor convectivo na fronteira direita ($h = 100 \text{ W/m}^2 \text{ K}$ e $T_\infty = 40^\circ\text{C}$). Para este caso é assumido estado estacionário.

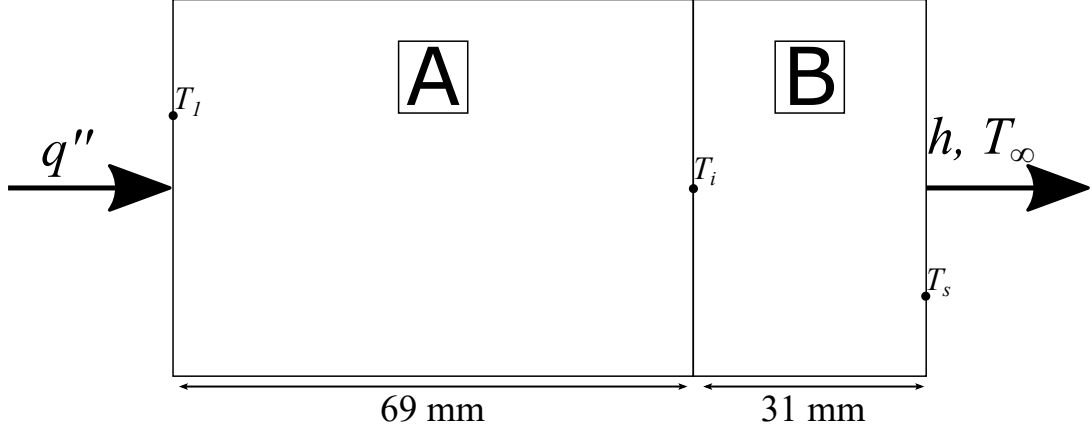


Figura 1: Esquema do problema.

Fazendo um balanço de energia nas fronteiras e na interface de contato, encontra-se facilmente os valores exatos da solução analítica do problema:

$$q'' = \frac{k_A (T_1 - T_i)}{L_A} = \frac{k_B (T_i - T_s)}{L_B} = h (T_s - T_\infty)$$

$$6000 \text{ W/m}^2 = \frac{10 (T_1 - T_i)}{0,069} = \frac{1 (T_i - T_s)}{0,031} = 100 (T_s - 40)$$

$$T_1 = 327,4^\circ\text{C}$$

$$T_i = 286^\circ\text{C}$$

$$T_s = 100^\circ\text{C}$$

Para a solução numérica do perfil de temperatura, é necessário discretizar a equação diferencial obtida por um balanço de energia (Equação 1), aplicando também as duas condições de contorno (Equações 2 e 3).

$$\frac{d}{dx} \left(k \frac{dT}{dx} \right) = 0 \quad (1)$$

$$-k \frac{dT}{dx} \Big|_{x=0} = q'' \quad (2)$$

$$-k \frac{dT}{dx} \Big|_{x=L} = h (T_s - T_\infty) \quad (3)$$

Discretizando o domínio em N_A volumes de controle para a parte A e N_B volumes de controle para parte B, utilizando pontos nas fronteiras do domínio, obtém-se uma

malha como na figura 2. Os pontos na parte A estão separados por uma distância δx_A e o pontos na parte B estão separados por uma distância δx_B , calculados conforme as equações abaixo:

$$\delta x_A = \frac{L_A}{N_A - 0,5} \quad \delta x_B = \frac{L_B}{N_B - 0,5}$$

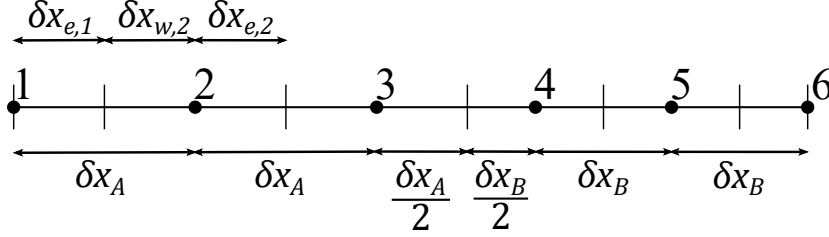


Figura 2: Representação esquemática da malha.

Para os pontos no interior da malha, a discretização pelo método dos volumes finitos para algum ponto P , neste caso denominado de i é dado pelas equações abaixo, sendo o ponto $i + 1$ equivalente ao ponto E , e o ponto $i - 1$ equivalente ao ponto W :

$$\begin{aligned} a_p T_P &= a_e T_E + a_w T_W \\ a_i T_i &= a_{i+1} T_{i+1} + a_{i-1} T_{i-1} \\ a_e &= a_{i+1} = \frac{k_e A}{\delta x} = \frac{k_e A}{\delta x_{e,i} + \delta x_{w,i+1}} \\ a_w &= a_{i-1} = \frac{k_w A}{\delta x} = \frac{k_w A}{\delta x_{w,i} + \delta x_{e,i-1}} \\ a_p &= a_i = a_{i+1} + a_{i-1} \end{aligned}$$

Onde k_e e k_w para o caso de volumes vizinhos com condutividades diferentes são calculados por variação linear ou pela formulação das resistências térmicas:

$$\begin{aligned} k_{e,\text{linear}} &= f_e k_P + (1 - f_e) k_E = f_e k_i + (1 - f_e) k_{i+1} \\ k_{e,\text{resistências}} &= \left(\frac{1 - f_e}{k_P} + \frac{f_e}{k_E} \right)^{-1} = \left(\frac{1 - f_e}{k_i} + \frac{f_e}{k_{i+1}} \right)^{-1} \\ f_e &= \frac{\delta x_{w,E}}{\delta x} = \frac{\delta x_{w,i+1}}{\delta x_{w,i+1} + \delta x_{e,i}} \\ k_{w,\text{linear}} &= f_w k_P + (1 - f_w) k_W = f_w k_i + (1 - f_w) k_{i-1} \\ k_{w,\text{resistências}} &= \left(\frac{1 - f_w}{k_P} + \frac{f_w}{k_W} \right)^{-1} = \left(\frac{1 - f_w}{k_i} + \frac{f_w}{k_{i-1}} \right)^{-1} \\ f_w &= \frac{\delta x_{e,W}}{\delta x} = \frac{\delta x_{e,i-1}}{\delta x_{e,i-1} + \delta x_{w,i}} \end{aligned}$$

Para a primeira condição de contorno, aplicando a discretização por volumes finitos e integrado a equação diferencial, obtém-se uma equação algébrica da seguinte forma:

$$\begin{aligned}
a_p T_P &= a_e T_E + b \\
a_1 T_1 &= a_2 T_2 + b \\
a_p &= a_e = \frac{k_e A}{\delta x} = \frac{k_e A}{\delta x_{e,1} + \delta x_{w,2}} \\
b &= q'' A = 6000
\end{aligned}$$

Para a segunda condição de contorno, a equação discretizada é obtida da mesma forma, encontrando então as equações abaixo, onde N é o último ponto da malha ($N = N_A + N_B$).

$$\begin{aligned}
a_p T_P &= a_w T_W + b \\
a_N T_N &= a_{N-1} T_{N-1} + b \\
a_w &= \frac{k_w A}{\delta x} = \frac{k_w A}{\delta x_{e,N-1} + \delta x_{w,N}} \\
a_p &= a_w + hA \\
b &= hAT_\infty = 4000
\end{aligned}$$

Com todas as equações então discretizadas, é construída uma matriz $N \times N$ com os coeficientes lineares a_p , a_e e a_w de cada ponto da malha em cada linha da matriz, gerando assim uma matriz tri-diagonal. A partir das duas condições de contorno, é construída a matriz coluna dos termos independentes do sistema linear, dados pelo fluxo de calor prescrito e o coeficiente convectivo com sua respectiva temperatura do fluido externo. Então, o sistema de equações pode ser resolvido utilizando os algoritmos internos do *MATLAB*, encontrando as temperaturas em cada ponto da malha. Como exemplo, para a malha representada na Figura 2, o sistema de equações é:

$$\begin{bmatrix}
362,3188 & -362,3188 & 0 & 0 & 0 & 0 \\
-362,3188 & 724,6377 & -362,3188 & 0 & 0 & 0 \\
0 & -362,3188 & 494,2450 & -131,9261 & 0 & 0 \\
0 & 0 & -131,9261 & 212,5713 & -80,6452 & 0 \\
0 & 0 & 0 & -80,6452 & 161,2903 & -80,6452 \\
0 & 0 & 0 & 0 & -80,6452 & 180,6452
\end{bmatrix} \cdot \begin{bmatrix} T_1 \\ T_2 \\ T_3 \\ T_4 \\ T_5 \\ T_6 \end{bmatrix} = \begin{bmatrix} 6000 \\ 0 \\ 0 \\ 0 \\ 0 \\ 4000 \end{bmatrix}$$

2 Resultados

Usando a malha da Figura 2, isto é, dividindo o domínio em 6 volumes (3 para cada material), o perfil de temperatura resultante é o que está apresentado na Figura 3. Nota-se que ao avaliar a condutividade na interface pelo método das resistências, os valores de temperaturas obtidos são exatos. Porém, avaliando a condutividade pela variação linear, as temperaturas no material A já são subestimadas. Como a solução exata do problema já possui um comportamento linear, e como o método dos volumes finitos é conservativo, a discretização das equações com a condutividade avaliada pelo método das resistências é equivalente às equações analíticas. Logo, utilizando este método para calcular a condutividade térmica na interface, o resultado será sempre o exato para este caso em específico, e sem ser influenciado pelo tamanho da malha.

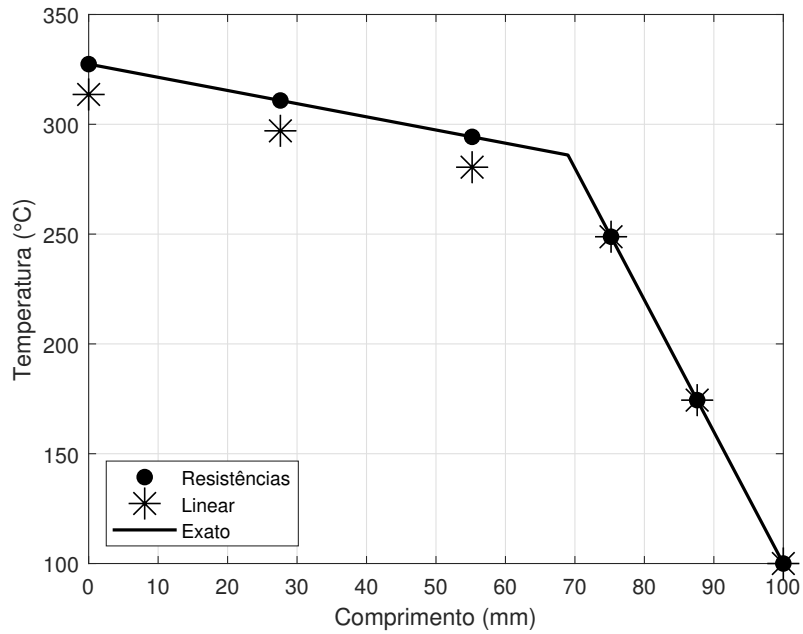


Figura 3: Perfil de temperatura com 6 volumes de controle no total.

Ao aumentar o número de volumes de controle para 20, com 10 volumes em cada material, o perfil de temperatura obtido é o da Figura 4. Pode-se observar que as temperaturas com a avaliação linear da condutividade na interface tendem a se aproximar do resultado exato ao refinar a malha. Esse resultado é lógico, pois ao diminuir a espessura dos volumes de controle, o cálculo da condutividade por variação linear se torna cada vez mais próximo do valor real. Esse comportamento pode ser observado na Figura 5, no qual o erro absoluto da temperatura T_1 tende ao valor nulo, porém, após um N de cerca de 40 volumes, o erro diminui a uma taxa muito menor em relação ao número de volumes.

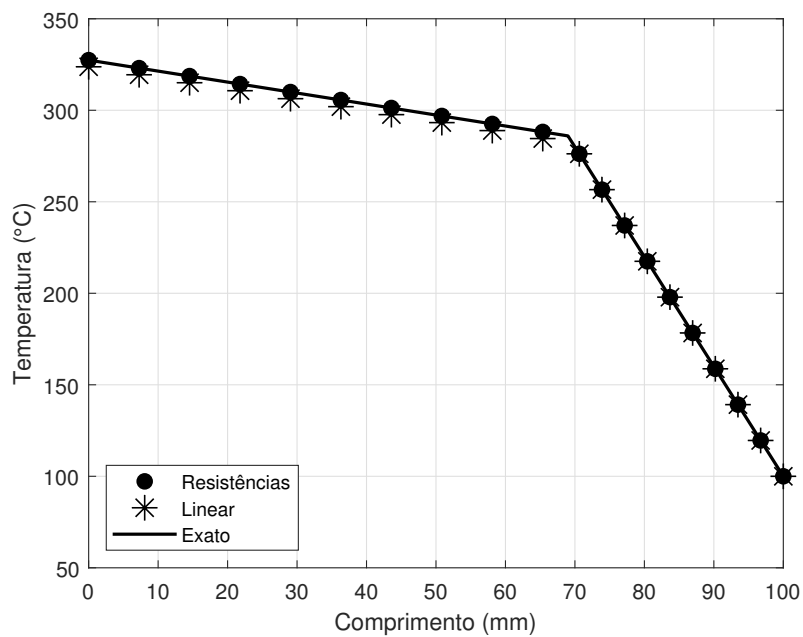


Figura 4: Perfil de temperatura com 20 volumes de controle no total.

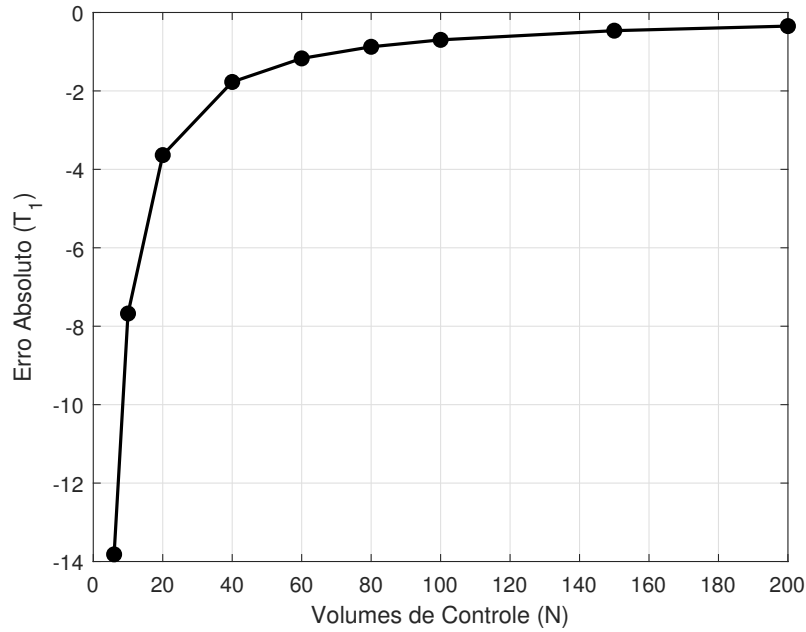


Figura 5: Erro absoluto da temperatura na fronteira esquerda ao variar o número de volumes de controle e utilizando a variação linear da condutividade na interface.

3 Conclusão

Neste trabalho foi implementado um programa para a resolução de um problema de condução de calor no estado estacionário, através da discretização pelo método dos volumes finitos, no qual a condutividade térmica na interface entre os dois materiais foi avaliada pelo método das resistências e por variação linear. Os resultados mostraram que para o método das resistências, o resultado obtido é exato, enquanto que para a variação linear, é necessário refinar muito mais a malha para se obter um perfil de temperatura próximo ao perfil real.

4 Código

```
1 %% Parâmetros e Constantes
2
3 k_A = 10;          k_B = 1;          % Condutividade - W/(m*K)
4 L_A = 0.069;       L_B = 0.031;      % Comprimento - m
5 N_A = 3;           N_B = N_A;        % Número de volumes em A e B
6 h = 100;           % Coeficiente convectivo - W/(m^2*K)
7 T_inf = 40;        % Temperatura do fluido - °C
8 q_presc = 6000;    % Fluxo prescrito - W/m^2
9 Area = 1;          % Área da face - m^2
10 exato = [327.4, 100]; % Solução exata
11
12 %% Discretização e Inicialização
13
14 dx_A = L_A / (N_A - 0.5);           % Distância entre pontos em A
15 dx_B = L_B / (N_B - 0.5);           % Distância entre pontos em B
16 N = N_A + N_B;                      % Número total de volumes
17 dx = [ones(1, N_A) .* dx_A, ones(1, N_B) .* dx_B];
18 dx_w = [0, ones(1, N_A-1) .* dx_A./2, ...
19         ones(1, N_B) .* dx_B./2]; % distâncias entre cada P e w
20 dx_e = [ones(1, N_A) .* dx_A./2, ...
21         ones(1, N_B-1) .* dx_B./2, 0]; % distâncias entre cada P e e
22 k = [ones(1, N_A) .* k_A, ones(1, N_B) .* k_B]; % k em cada ponto
23 A = zeros(N, N);                      % Matriz dos coeficientes
24 b = zeros(N, 1);                      % Vetor dos termos independentes
25
26 %% Resolução
27
28 % Construção do sistema de equações
29 for i = 1:N
30     % Condutividade nas interfaces (kw e ke)
31     if i == 1
32         fe = dx_w(i+1) / (dx_e(i) + dx_w(i+1));
33         ke = 1 / ((1 - fe) / k(i) + fe / k(i+1)); % resistências
34         %ke = fe * k(i) + (1 - fe) * k(i+1); % linear
35     elseif i == N
36         fw = dx_e(i-1) / (dx_w(i) + dx_e(i-1));
37         kw = 1 / ((1 - fw) / k(i) + fw / k(i-1)); % resistências
38         %kw = fw * k(i) + (1 - fw) * k(i-1); % linear
39     else
40         fe = dx_w(i+1) / (dx_e(i) + dx_w(i+1));
41         fw = dx_e(i-1) / (dx_w(i) + dx_e(i-1));
42         ke = 1 / ((1 - fe) / k(i) + fe / k(i+1)); % resistências
43         %ke = fe * k(i) + (1 - fe) * k(i+1); % linear
44         kw = 1 / ((1 - fw) / k(i) + fw / k(i-1)); % resistências
45         %kw = fw * k(i) + (1 - fw) * k(i-1); % linear
46     end
47
48
49
```

```

50     if i == 1
51         % Fronteira com fluxo prescrito
52         dx_PE = dx_e(i) + dx_w(i+1); % distância entre P e E
53         ae = ke * Area / dx_PE;
54         ap = ae;
55         b(i) = q_presc * Area;
56         A(i, [i, i+1]) = [ap, -ae];
57     elseif i == N
58         % Fronteira com fluxo convectivo
59         dx_PW = dx_w(i) + dx_e(i-1); % distância entre P e W
60         aw = kw * Area / dx_PW;
61         ap = aw + h * Area;
62         b(i) = h * Area * T_inf;
63         A(i, [i-1, i]) = [-aw, ap];
64     else
65         % Pontos no interior da malha
66         dx_PE = dx_e(i) + dx_w(i+1);
67         dx_PW = dx_w(i) + dx_e(i-1);
68         ae = ke * Area / dx_PE;
69         aw = kw * Area / dx_PW;
70         ap = ae + aw;
71         A(i, [i-1, i, i+1]) = [-aw, ap, -ae];
72     end
73 end
74
75 % Resolução do sistema de equações
76 T = A \ b;

```